

## О ЧАСТОТНЫХ СВОЙСТВАХ ИЗОТИПНОГО КОНТАКТА К ВЫСОКООМОМНОМУ ПОЛУПРОВОДНИКУ

Блохин И. К., Рахубовский А. А., Холоднов В. А.

Методами малосигнального численного анализа при различных частотах внешнего воздействия вычислены пространственные распределения электрического поля, концентрации носителей и плотности объемного заряда в изотипном контакте к высокомомному легированному полупроводнику, т. е. в области пространственного заряда полупроводниковой резисторной структуры с базой на основе высокомомного легированного полупроводника. Выяснено, что перезарядка примесей в контакте существенна при частотах, как правило, на несколько порядков превышающих общепринятые. Проведена физическая интерпретация полученных в работе результатов. Предложена простая формула для минимальной частоты, обратная величина которой определяет верхнюю границу характерных времен. При этих временах анализ нестационарных процессов можно проводить без учета перезарядки примесей в контакте. Полученные результаты допускают обобщения на анизотипные контакты.

Контактные явления существенно влияют на электрические и фотоэлектрические характеристики полупроводниковых резисторных структур (ПРС), т. е.  $p^+ - p - p^+$ - или  $n^+ - n - n^+$ -структур, с высокомомной  $p$ - или  $n$ -областью (базой) на основе легированного полупроводника [1-3].

В данной работе методами малосигнального численного анализа показано, что минимальная частота внешнего воздействия  $\omega_{\min}$ , при которой перезарядка примесей в контакте ПРС с высокомомной базой, т. е. в области пространственного заряда (ОПЗ)  $p^+ - \pi^-$  или  $n^+ - v^-$ -перехода, несущественна, может на несколько порядков превышать значение  $\omega_{\min}$ , приведенное в [2, 3]. Если частота внешнего возмущения  $\omega < \omega_{\min}$ , то при анализе частотных характеристик ПРС с высокомомной базой на основе легированного полупроводника необходимо учитывать перезарядку примесей в ОПЗ.

Рассмотрим для определенности  $p^+ - \pi^- - p^+$ -структуру. В ее базе концентрация акцепторов  $N$  на несколько порядков превосходит концентрацию «мелких» остаточных, полностью ионизированных доноров  $N_d$  [1]. Свободные дырки генерируются с нейтральных и захватываются на минус-однозарядные акцепторы (ловушки) [2-4] с концентрациями  $N_0$  и  $N_- = N - N_0$  соответственно. Концентрация ловушек связана с концентрацией свободных дырок  $p(x, t)$  уравнением

$$\frac{\partial}{\partial t} N_-(x, t) = vN - [v + \alpha_p p(x, t)] N_-(x, t), \quad (1)$$

где  $v$  — частота генерации свободных дырок, а  $\alpha_p$  — коэффициент их захвата на ловушки. Распределение электрического поля  $E(x, t)$  определяется уравнением

$$\epsilon \epsilon_0 \frac{\partial}{\partial x} E(x, t) = p(x, t) \equiv e [p(x, t) + N_d - N_-(x, t) - N_k(x)], \quad (2)$$

где  $\epsilon \epsilon_0$  — диэлектрическая проницаемость,  $N_k$  — концентрация мелких ионизованных акцепторов. В базе ( $0 < x < W$ ; рис. 1, a)  $N_k = 0$ , в  $p^+$ -областях ( $-W_k < x < 0$  и  $W < x < W + W_k$ ; рис. 1, a)  $N_k \gg N$ . Пусть к ПРС приложены постоянное

$$V_0 = \int_{-W_k}^{W+W_k} E_0(x) dx \quad (3)$$

и малое гармонически модулированное

$$\delta V = \delta V_0 \cos(\omega t + \varphi) = \int_{-W_k}^{W+W_k} \delta E(x, t; \omega) dx \quad (4)$$

напряжения. Линеаризуя выражение для плотности тока

$$J = e\mu_p p(x, t) E(x, t) - eD_p \frac{\partial}{\partial x} p(x, t) + \epsilon\epsilon_0 \frac{\partial}{\partial t} E(x, t) \quad (5)$$

и уравнения (1), (2), получим

$$\frac{\partial}{\partial t} \delta N_-(x, t; \omega) + [v + \alpha_p p_0(x)] \delta N_-(x, t; \omega) + \alpha_p N_-^0(x) \delta p(x, t; \omega) = 0, \quad (6)$$

$$\epsilon\epsilon_0 \frac{\partial}{\partial x} \delta E(x, t; \omega) + e [\delta N_-(x, t; \omega) - \delta p(x, t; \omega)] = 0, \quad (7)$$

$$\delta J(t; \omega) = e\mu_p [E_0(x) \delta p(x, t; \omega) + p_0(x) \delta E(x, t; \omega)] - eD_p \frac{\partial}{\partial x} \delta p + \epsilon\epsilon_0 \frac{\partial}{\partial t} \delta E, \quad (8)$$

где  $\mu_p$  и  $D_p$  — подвижность и коэффициент диффузии дырок, а стационарные распределения  $p_0(x)$ ,  $E_0(x)$  и  $N_-^0(x)$  определяются уравнениями (1)–(4) при  $\partial N_-/\partial t = \partial E/\partial t = 0$ . Границные условия при решении системы уравнений (1)–(8) ставились в глубине  $p^+$ -областей вне ОПЗ (вблизи  $x = -W_k$  и  $x = W + W_k$ ), где с высокой точностью сохраняется электронейтральность, т. е.  $\partial E_0/\partial x = \partial \delta E/\partial x = 0$ .

Фаза напряжения  $\varphi$  выбиралась такой, что  $\delta J = \delta J_0 \sin \omega t$ . При расчетах использованы типичные для высокоэффективных примесных Si-фоторезисторов (ФР) значения параметров [1]:  $W = 110$  мкм,  $T = 15$  К,  $\epsilon = 12$ ,  $N = 2 \cdot 10^{16}$  см<sup>-3</sup>,  $N_D = 1.4 \cdot 10^{12}$  см<sup>-3</sup>,  $\mu_p = 2 \cdot 10^4$  см<sup>2</sup>/В·с, концентрация дырок в глубине базы ФР  $\bar{p}_0 = 10^6$  см<sup>-3</sup>,  $\alpha_p = 5 \cdot 10^{-6}$  см<sup>3</sup>/с,  $v = 3.5 \cdot 10^{-4}$  с<sup>-1</sup>.

На рис. 1, б представлено распределение поля  $E_0(x)$  при  $V_0 = E_D W / 4$ , где  $E_D = kT/eL_D$  и  $L_D = \sqrt{\epsilon\epsilon_0 kT/e^2 N_D}$  — поле и длина Дебая. На этом рис. 1 выделены четыре ( $I$ – $IV$ ) характерные области [3]. В области  $I$  стационарный заряд формируется в основном свободными дырками, т. е.  $N_-^0(x) \ll p_0(x)$ , в  $II$  — донорами, т. е.  $p_0(x) \ll N_D$ , а поэтому  $\partial E_0/\partial x \approx N_D$ , в  $III$  происходит плавный переход от линейной зависимости  $E_0(x)$  к постоянному значению  $E_0 = E_D/4$  в квазинейтральной области  $IV$ , в которой  $(\epsilon\epsilon_0/e) |\partial E_0/\partial x| \ll N_-^0, N_D$ . Аналитические оценки и численный расчет показывают, что протяженность области  $II$   $l_{II} \approx L_D \sqrt{\ln(N_D/\bar{p}_0)}$ , а области  $III$  —  $l_{III} \approx (3 \div 4) L_D$ , т. е.  $l_{II} \approx l_{III}$  (рис. 1, б).

На рис. 1, б, в представлены пространственные распределения  $\delta E$  и плотности объемного заряда  $\delta p$  в различные моменты времени при  $\omega = 10/\tau_1$ , где  $\tau_1 = 1/\alpha_p \bar{p}_0$  — время релаксации ловушек в толще базы ПРС [2, 3]. Видно, что  $\delta E(x) \approx \text{const}$  в  $II$  [2, 3], однако в  $III$  поле  $\delta E$  существенно неоднородно. Более того, в определенных временных интервалах  $\delta E$  немонотонно зависит от  $x$  в ОПЗ и даже меняет знак (рис. 1, б, кривая 3). Зависимость  $\delta p(x, t)$  в ОПЗ также имеет немонотонный характер, причем если в  $I$  заряд  $\delta p(t)$  «отслеживает» изменение тока  $\delta J(t)$ , то в  $III$  существует значительное запаздывание. Причины таких зависимостей  $\delta E(x, t)$  и  $\delta p(x, t)$  состоят в следующем. В области  $I$   $|\delta N_-(x)| \ll |\delta p(x)|$ , т. е.  $\delta p$  обусловлена зарядом нестационарных свободных дырок, концентрация которых успевает подстраиваться под изменение тока [2, 3]. Амплитуда изменения  $\delta E(t)$  минимальна вблизи  $p^+$ -области, где амплитуда изменения  $\delta p(t)$  максимальна (рис. 1, б, в).

В области  $II$  за счет резкого падения  $|\delta p|$  и резкого роста  $|\delta N_-|$  с увеличением  $x$  вклад в  $\delta p$  свободных и связанных зарядов оказывается примерно

одинаковым, причем вблизи I  $|\delta p| > |\delta N_-|$ , а вблизи III  $|\delta p| < |\delta N_-|$ . В рассматриваемой области  $|\delta p|$  уже, а  $|\delta N_-|$  еще не так велики, чтобы существенно экранировать поле, созданное нестационарным зарядом области I. В результате  $|\delta p|$  мала и изменяется с ростом  $x$  гораздо медленнее, чем в областях I и II. Именно поэтому в масштабе рис. 1, б  $\partial \delta E / \partial x \approx 0$  в области II.

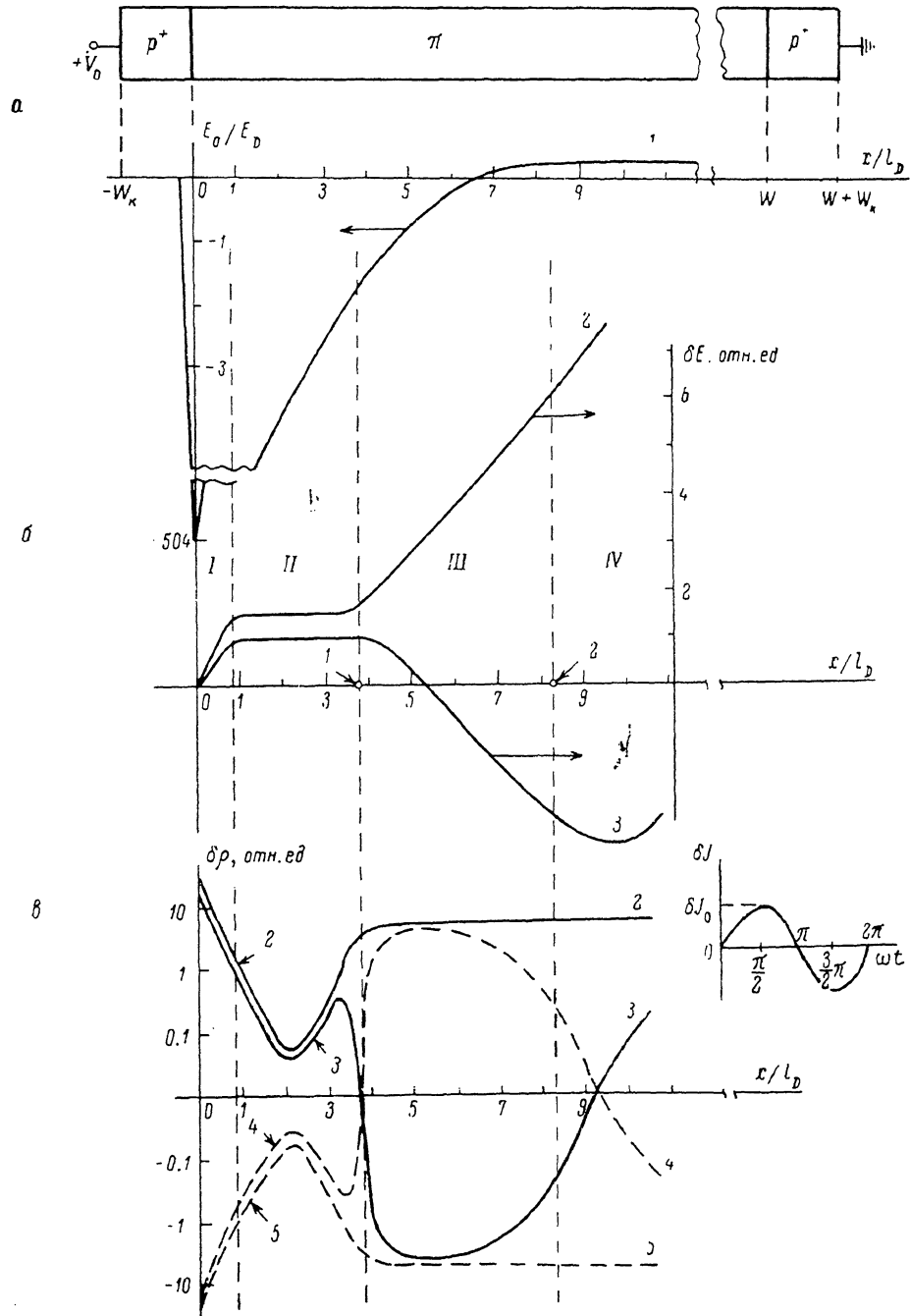


Рис. 1. Схема структуры (a) и зависимости от  $x$  полей  $E_0$ ,  $\delta E$  (б) и плотности заряда  $\delta p$  (в).  
1 —  $E_0(x)$ ;  $\omega t$ : 2 —  $\pi/2$ , 3 — 0, 4 —  $\pi$ , 5 —  $3\pi/2$ . На вставке — осциллограмма тока  $\delta J(t)$ .

В области III с большой точностью  $\delta p = -e\delta N_-$ , поэтому поведение  $\delta E(x, t)$  здесь обусловлено процессами захвата и выброса нестационарных свободных дырок. В определенные интервалы времени, например при  $\omega t=0$ , за счет выброса дырок с нейтральными акцепторами концентрация ловушек оказывается больше стационарного значения, т. е.  $\delta p = -e\delta N_- < 0$ ; в то же время в I и II за счет

инжектированных дырок и их захвата на ловушки  $\delta\rho > 0$  (рис. 1, в, кривая 3). При увеличении тока до  $\delta J_0$  при  $\omega t = \pi/2$  происходит дополнительная инжекция дырок из  $p^+$ -области в ОПЗ  $p^+ - \pi$ -перехода. В результате в областях I и II  $\delta\rho$  подрастает, а в области III за счет захвата инжектированных дырок на ловушки их концентрация уменьшается настолько, что  $\delta\rho$  становится положительной и в III. Поэтому при  $\omega t = \pi/2$  поле  $\delta E$  всюду в ОПЗ имеет одно направление и является растущей функцией  $x$ . При уменьшении тока до 0 при  $\omega t = \pi$  проис-

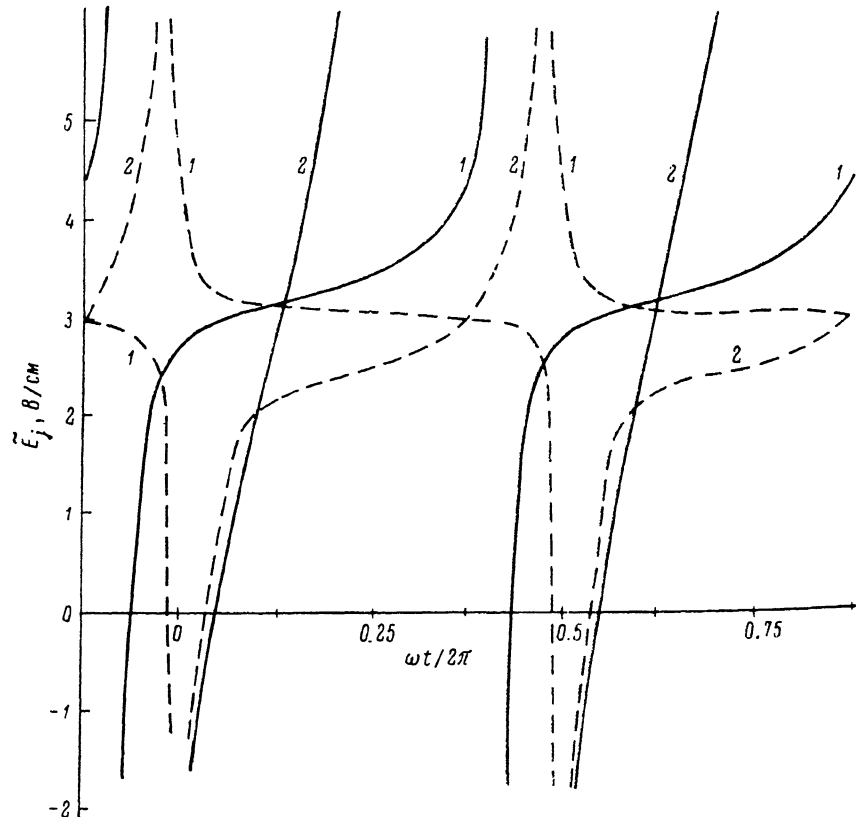


Рис. 2. Зависимость  $\tilde{E}_j(t)$ .

1, 2 соответствуют точкам 1, 2 на рис. 1, б. Сплошные кривые —  $\omega\tau_i=10$ , штриховые —  $\omega\tau_i=100$ .

ходит экстракция свободных дырок из I и II, из-за чего в этих областях при  $\omega t = \pi$  заряд оказывается меньше стационарной величины, т. е.  $\delta\rho < 0$ . В то же время в большей части области III практически не успевает произойти выброс дырок с нейтральных акцепторов, а поэтому концентрация ловушек продолжает оставаться меньше стационарного значения. Другими словами,  $\delta\rho$  в III продолжает оставаться положительной (рис. 1, в, кривая 4), а поэтому поле  $\delta E$ , как и при  $\omega t = 0$ , в некоторой точке ОПЗ изменяет свое направление. За следующую четверть периода в III происходит выброс дырок с нейтральных акцепторов. Поэтому при  $\omega t = 3\pi/2$  всюду в ОПЗ  $\delta\rho < 0$ , а профиль  $\delta E(x)$  определяется кривой 2 (рис. 1, б), зеркально отображенной от оси  $x$ .

В работах [2] при описании малосигнальных электрических и фотоэлектрических частотных характеристик ПРС с высокоомной легированной базой считалось, что при  $\omega \gg \tau_i^{-1}$  в приграничной к ОПЗ части базы, т. е. где-то в слое между точками 2 и 3 (рис. 1, б), выполняется соотношение

$$\tilde{E}_j \equiv p_j(x) \frac{\delta E(x, t; \omega)}{\delta p(x, t; \omega)} = \text{const} \simeq \frac{kT}{el_{II}} \equiv E_i. \quad (9)$$

Вывод (9) в [2] основан на предположениях, что  $l_{II} \gg l_{III}$  и при  $\omega \gg \tau_1^{-1}$  ловушки в ОПЗ не успевают перезаряжаться, в силу чего  $\delta E(x, t; \omega)$  однородно в подавляющей части ОПЗ. Как мы выше показали, в рассматриваемых условиях  $l_{II} \simeq l_{III}$  и при  $\omega = 10 \tau_1^{-1}$  после  $\delta E$  в ОПЗ все еще существенно неоднородно за счет изменения заряда ловушек в III, из-за чего  $\tilde{E}_j$ , зависит от времени (рис. 2). Интересно, что  $\tilde{E}_j$  зависит от  $t$  даже в точке I. Аналогичная ситуация реализуется в относительно большом диапазоне напряжений  $V_0$  и частот. Заметим, что  $\tilde{E}_j$  зависит также и от  $\omega$ .

В [3] отмечалось, что неравенства  $\omega \gg \tau_1^{-1}$  недостаточно для пренебрежения перезарядкой ловушек в ОПЗ. Согласно [3], для этого достаточно того, чтобы  $\omega \gg \bar{\omega} \simeq (l_{II}/l_D) \tau_1^{-1}$ . В рассматриваемых условиях  $\bar{\omega} \simeq 3 \tau_1^{-1}$ . Однако проведенный нами численный анализ показывает, что перезарядка существенна до частот  $\omega = \omega_{\min} \simeq 10^3 \tau_1^{-1} \gg \bar{\omega}$ . Этот результат можно получить из следующих соображений. При  $\nu \ll \alpha_p p_0$  время релаксации ловушек  $\tau(x) = 1/\alpha_p p_0(x)$  [2, 3] в ОПЗ резко падает от  $p^-$  к  $p^+$ -слою. Там, где  $\omega \tau \ll 1$ , ловушки перезаряжаются, где  $\omega \tau \gg 1$  — нет. Правее точки  $x$ , в которой  $|1 + i\omega \tau| p_0 = N_0^0$ , выполняется неравенство  $|\delta p| \ll |\delta N_-|$ , левее же —  $|\delta p| \gg |\delta N_-|$ , т. е. перезарядка ловушек слабо влияет на профиль  $\delta E(x)$ . Поэтому при выполнении распределения Больцмана [2, 3] получим, что

$$\omega_{\min} \simeq \alpha_p \sqrt{N_D \bar{p}_0} = \sqrt{\frac{N_D}{\bar{p}_0}} \tau_1^{-1} \quad (10)$$

и превышает  $\bar{\omega}$  в  $\sqrt{(N_D/\bar{p}_0)/\ln(N_D/\bar{p}_0)}$  раз, что может составлять порядки величины.

Как показывают наши расчеты, во многих ситуациях перезарядка ловушек в ОПЗ примесного ФР [1] существенно влияет на его характеристики.

Картина еще более усложняется, если ФР работает в режиме ограничения фоном при неоднородной оптической генерации носителей [4].

Авторы глубоко признательны В. В. Осипову и Р. А. Сурису за детальное, стимулирующее дальнейшие исследования обсуждение результатов работы.

#### Список литературы

- [1] Scalar N. // Prog. Quant. Electron. 1984. V. 9. N 2. P. 149—257.
- [2] Сурис Р. А., Фукс Б. И. // ФТП. 1975. Т. 9. В. 9. С. 1717—1728. 1978. Т. 12. В. 12. С. 2319—2327.
- [3] Фукс Б. И. // ФТП. 1981. Т. 15. В. 9. С. 1679—1700.
- [4] Блохин И. К., Холоднов В. А. // ФТП. 1986. Т. 20. В. 2. С. 294—299. 1986. Т. 20. В. 10. С. 1925—1929.

Получена 2.07.1988  
Принята к печати 19.05.1989